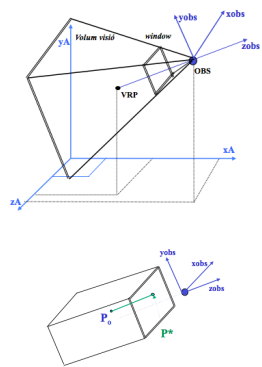


# Classe 6: contingut

- Realisme: Eliminació de parts ocultes
  - Back-face culling
  - Depth-buffer
- Realisme: Il·luminació (1)
  - Càlcul del color en un punt
- Exercicis càmera

# Càmera i procés de visualització



Càmera Inicial i interacció

EPA i Il·uminació



view & project transform:  
*viewMatrix, projectMatrix*

viewport

ModelMatrix<sub>i</sub>  
(TG)

PintaModel<sub>i</sub>

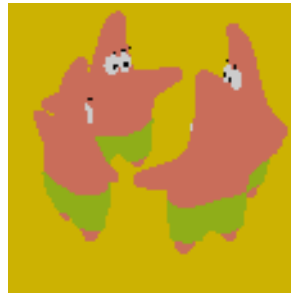
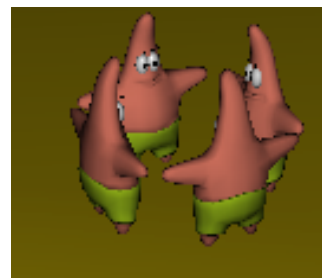
VAO<sub>i</sub>

Vertex Shader

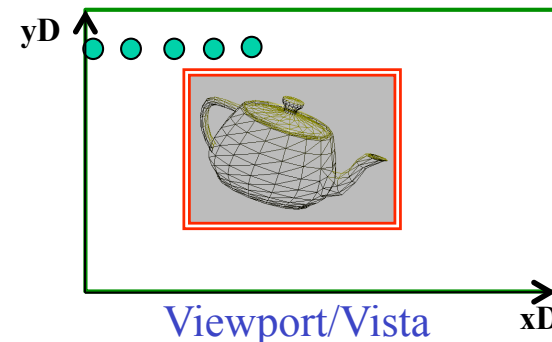
OpenGL-  
Visualització

Fragment Shader

Píxel(x,y,c)



Finestra OpenGL (Pantalla)

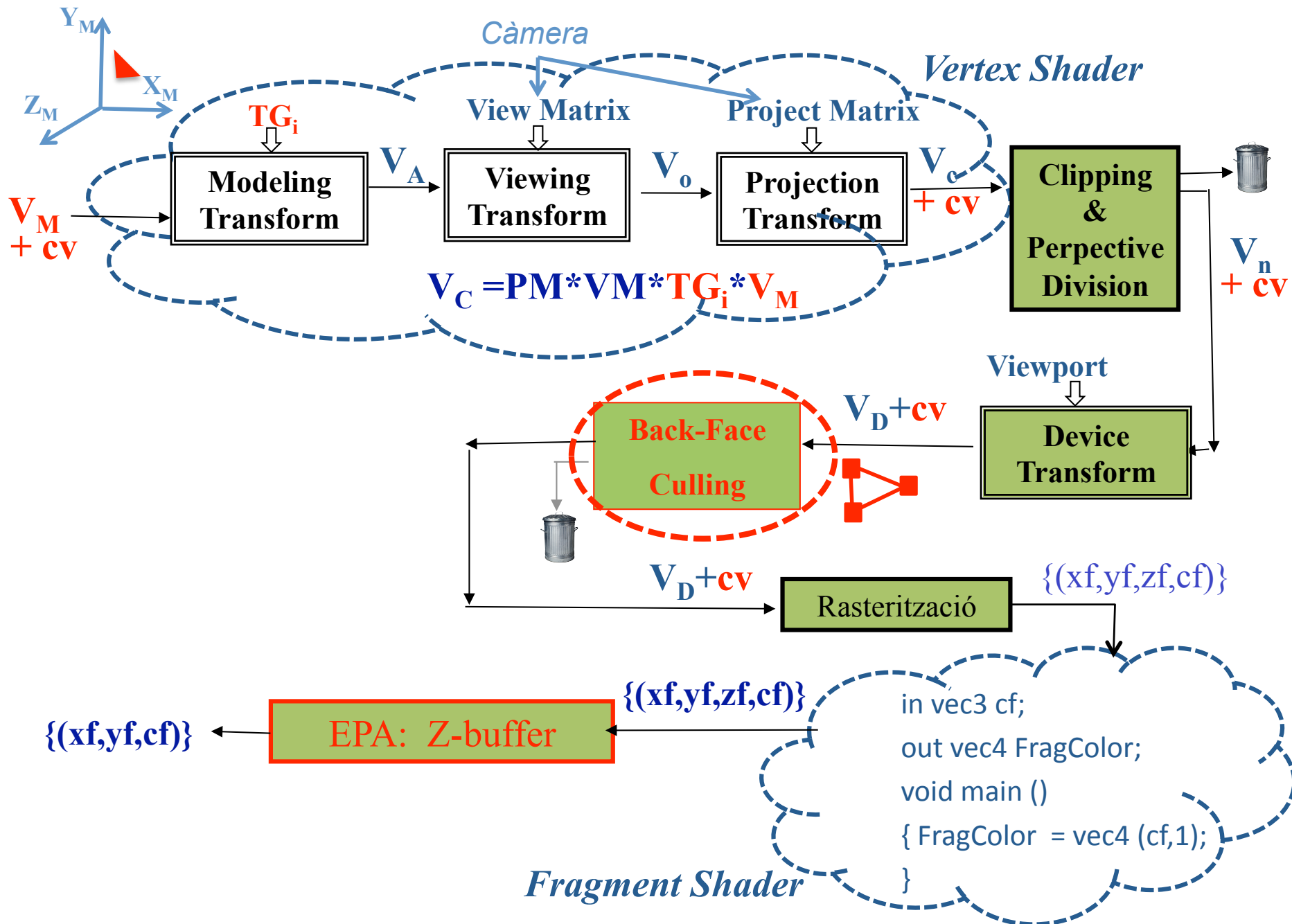


Viewport/Vista

# Classe 6: contingut

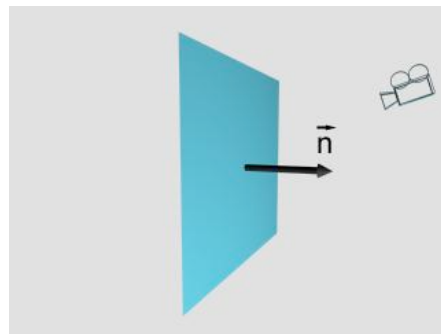
- **Realisme: El·liminació de parts ocultes**
  - Back-face culling
  - Depth-buffer
- **Realisme: Il·luminació (1)**
  - Càlcul del color en un punt
- **Exercicis càmera**

# Paradigma projectiu bàsic amb OpenGL 3.3

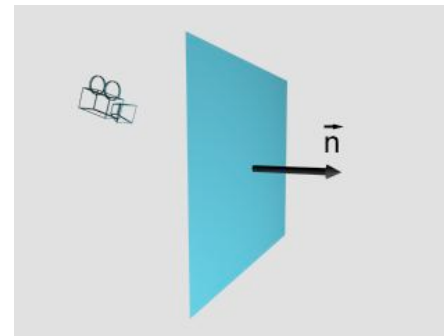


# Back-face Culling

- Mètode EPA en espai *objecte* (a nivell de triangle)
- Requereix cares orientades, opaques, objectes tancats
- Considera escena formada només per la *cara* i l'*observador*
- És conservatiu (determina les cares que “segur” no són visibles)

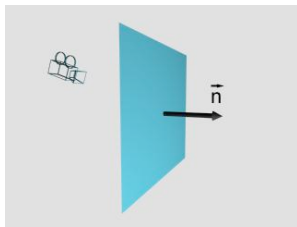
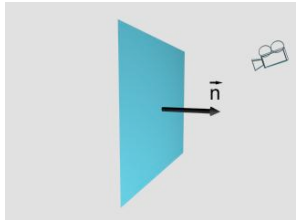


**visible**

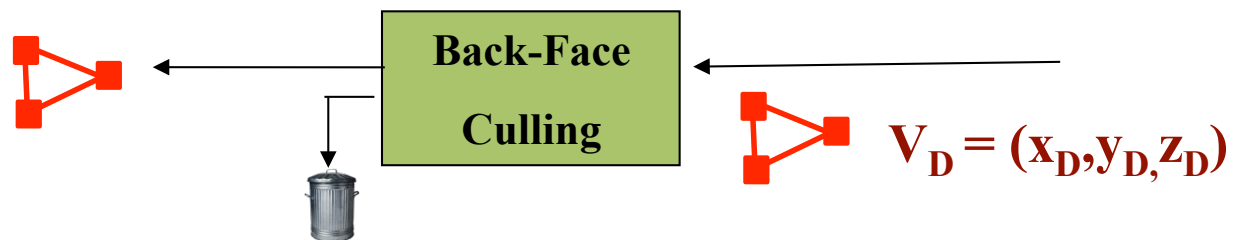


**no visible**

# Back-face Culling

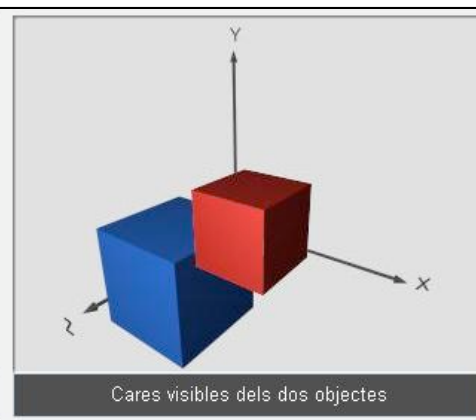
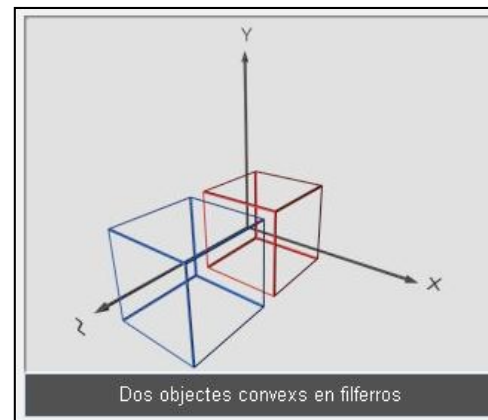
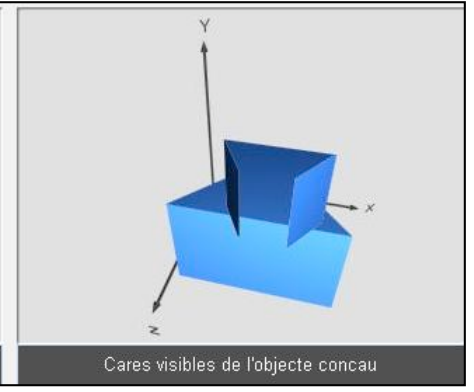
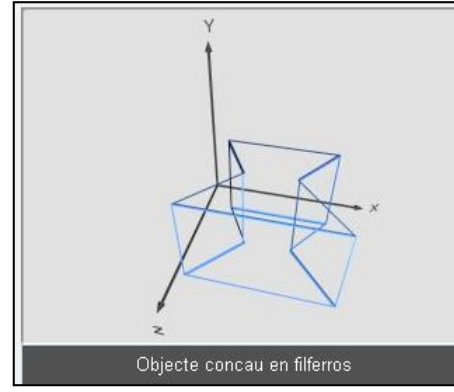
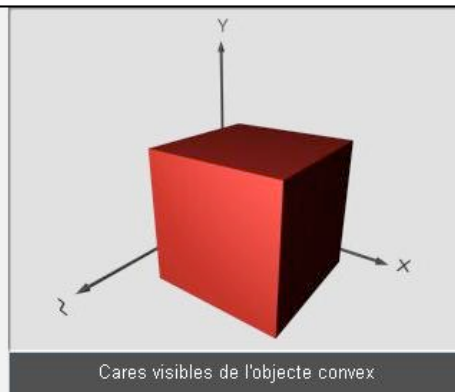
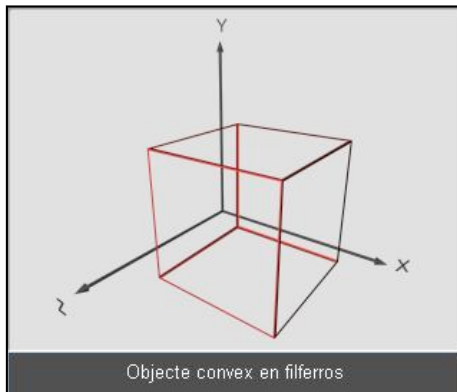


- OpenGL fa el càlcul en coord. dispositiu
  - direcció de visió  $(0,0,-1)$
  - visibles les cares amb  $n_z > 0$  (ordenació vèrtexs antihorari)
  - el càlcul de la normal de la cara el fa OpenGL a partir dels vèrtexs en coordenades de dispositiu => **importància ordenació vèrtexs.**



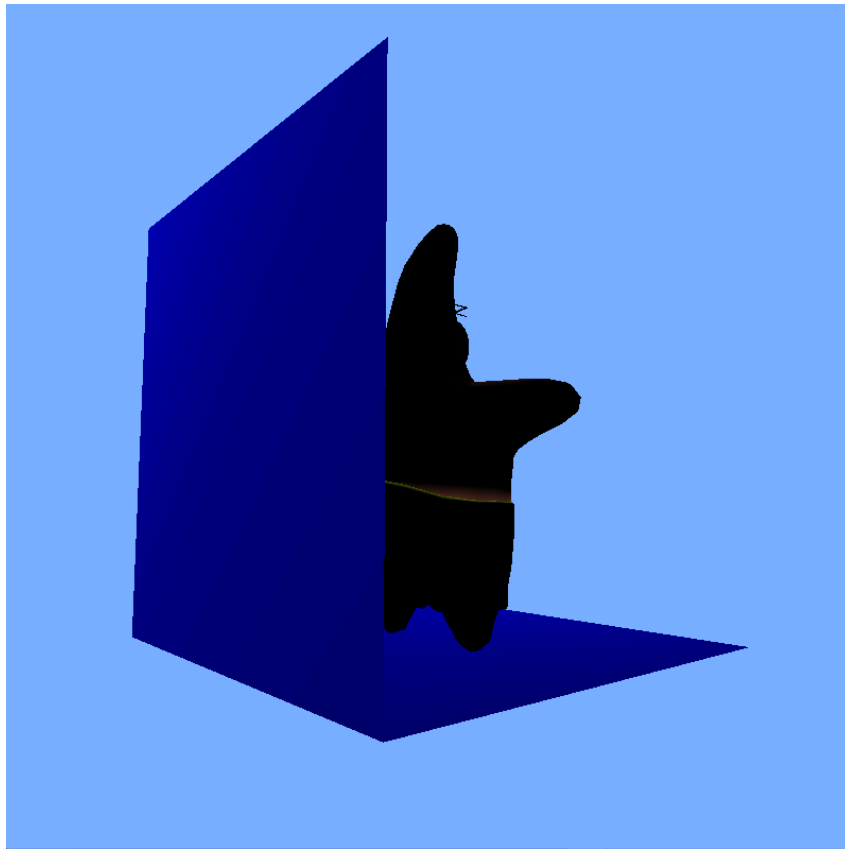
# Back-face Culling

- Culling com EPA només si l'escena conté un únic objecte convex.

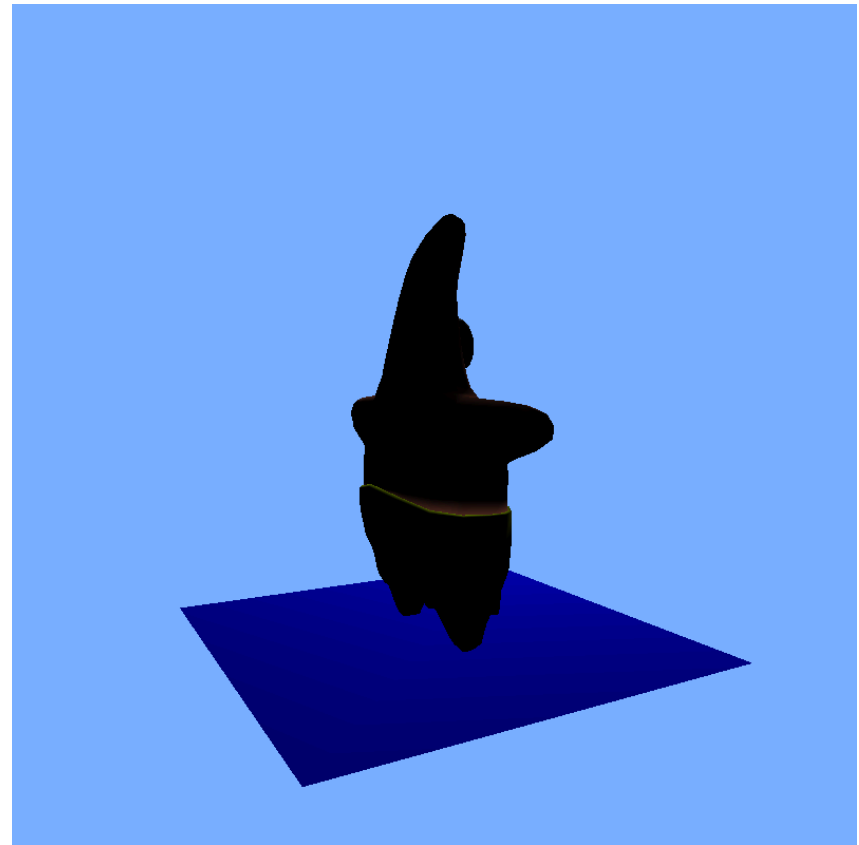


# Imatges que podreu comprovar al laboratori

Sense culling

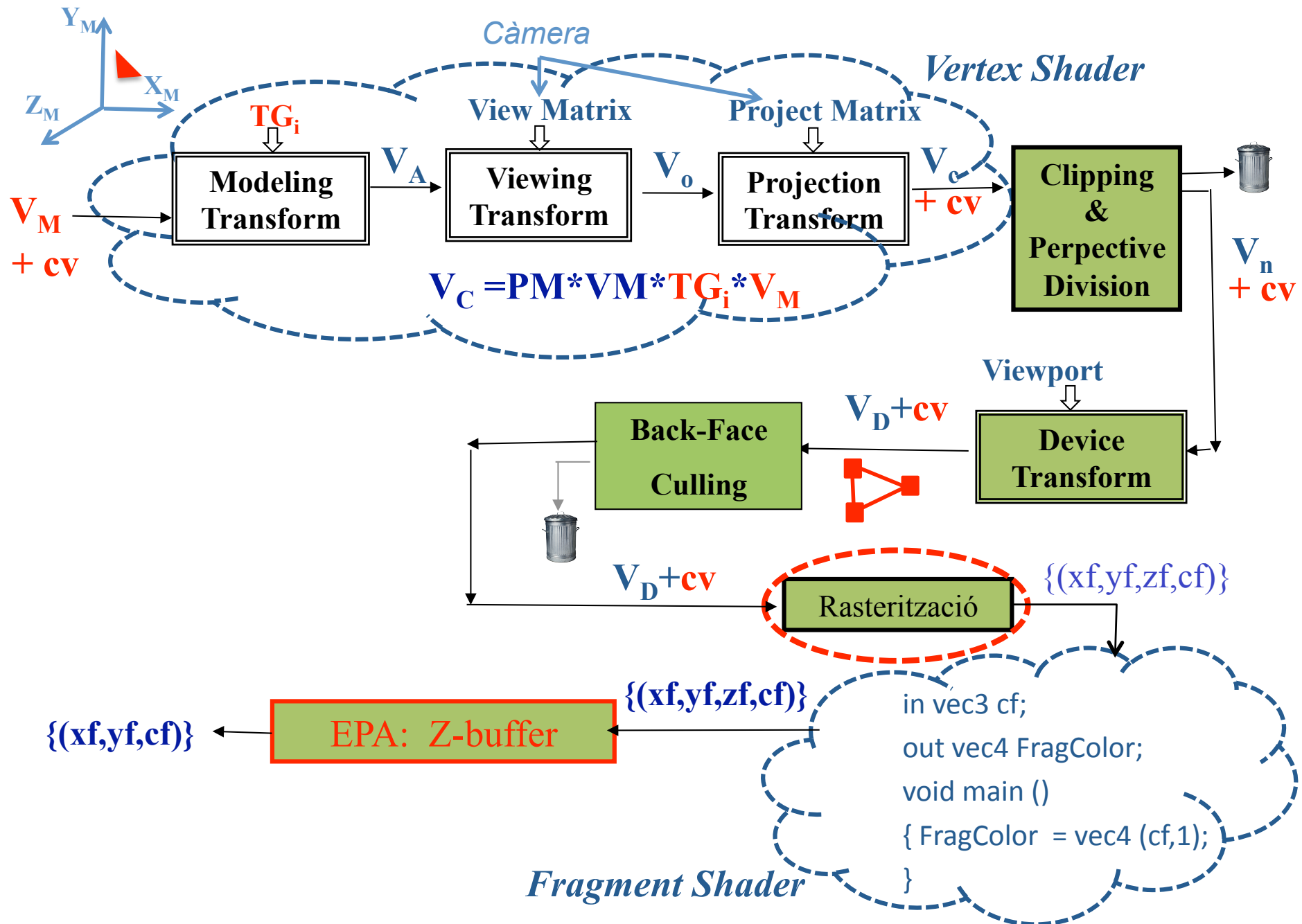


Amb culling



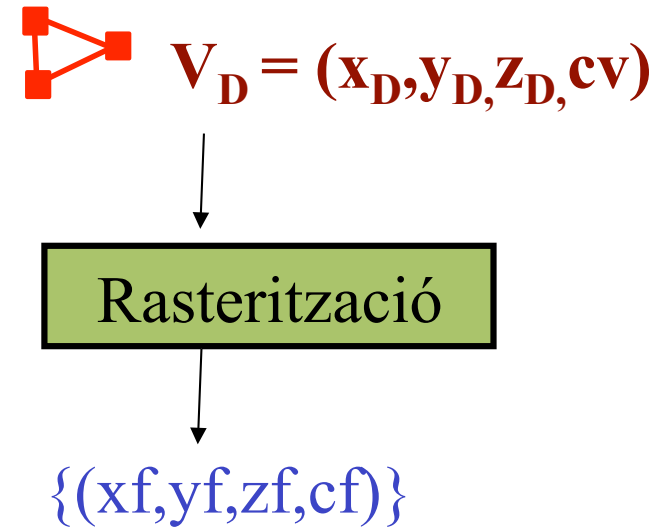
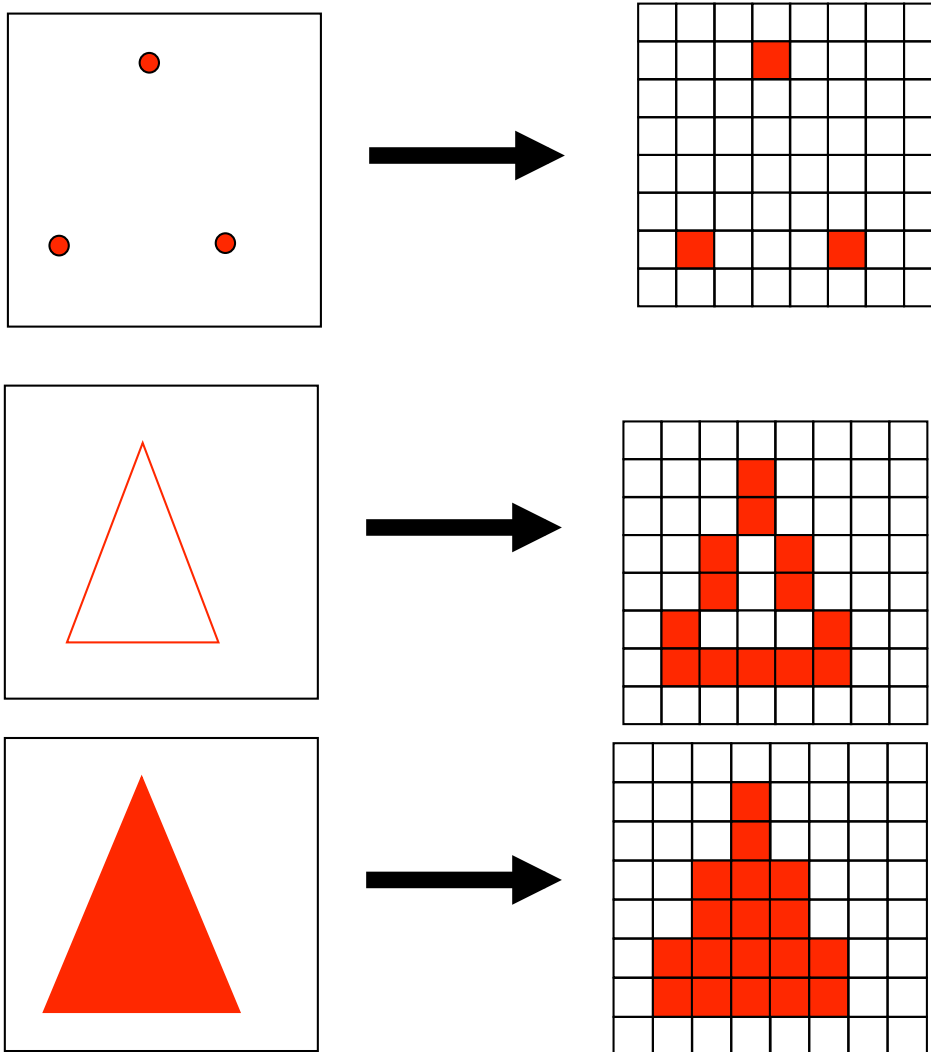


# Paradigma projectiu bàsic amb OpenGL 3.3



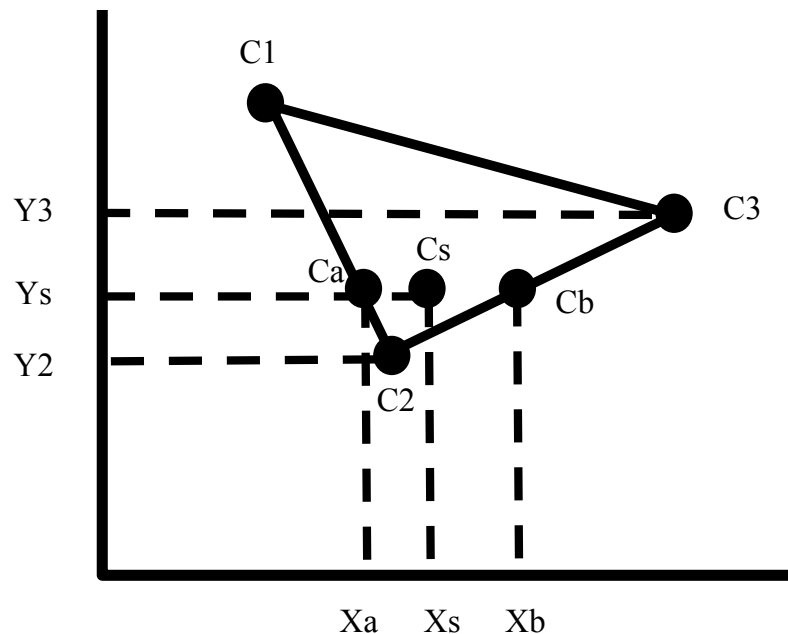
# Algorismes de rasterització

La discretització és diferent per a cada primitiva: punt, segment, polígon



# Shading (colorat) de polígons

- Colorat Constant  $\equiv$  Flat shading  $\rightarrow C_f = C1$   
*color uniforme per tot el polígon (funció del color calculat en un vèrtex); cada cara pot tenir diferent color.*
- Colorat de Gouraud  $\equiv$  Gouraud shading  $\equiv$  Smooth shading

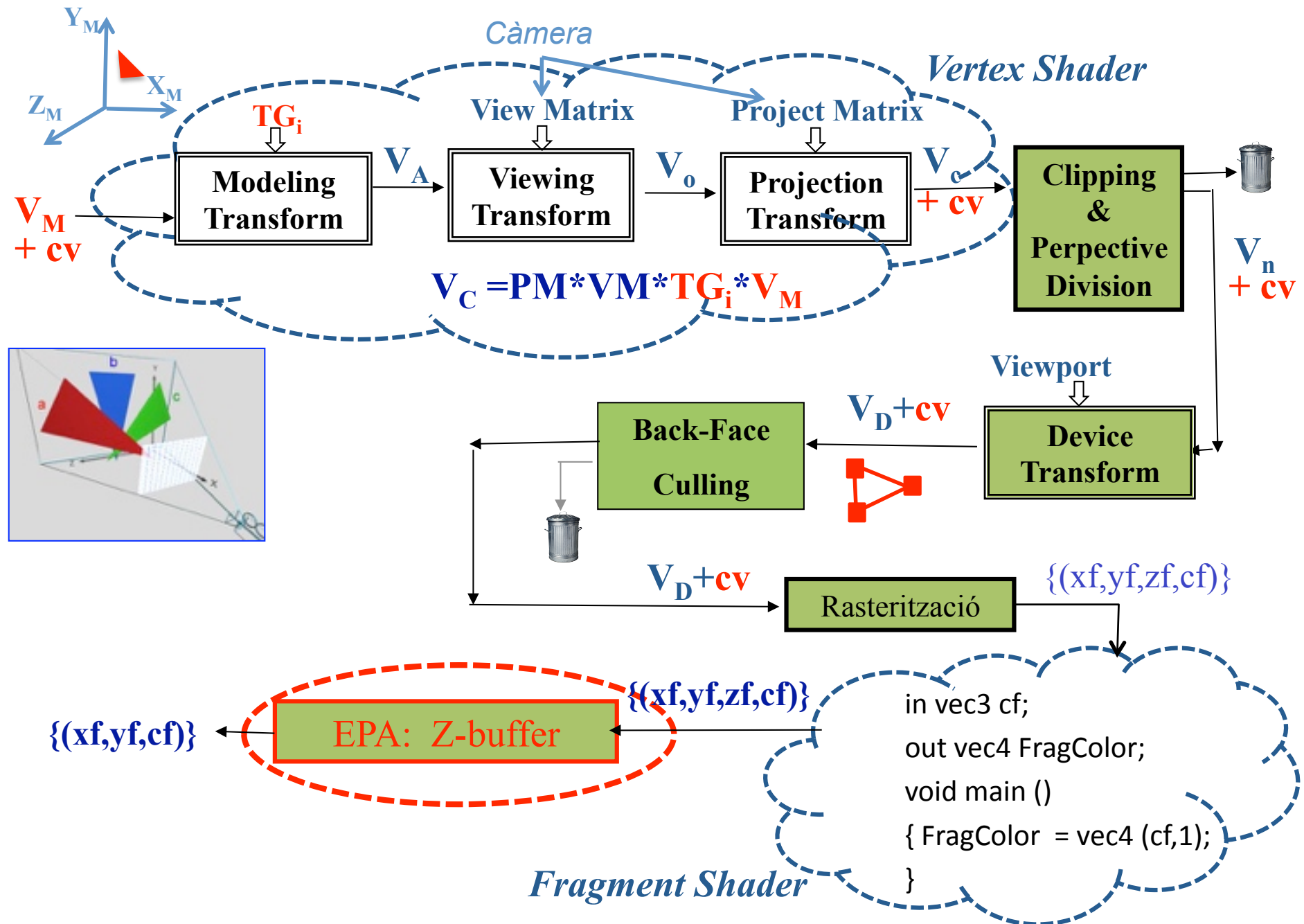


$$Ca = \frac{1}{Y1 - Y2} (C1(Ys - Y2) + C2(Y1 - Ys))$$

$$Cb = \frac{1}{Y3 - Y2} (C2(Y3 - Ys) + C3(Ys - Y2))$$

$$Cs = \frac{1}{Xb - Xa} (Ca(Xb - Xs) + Cb(Xs - Xa))$$

# Paradigma projectiu bàsic amb OpenGL 3.3



# Depth Buffer

- Mètode EPA en espai imatge (*a nivell de píxel/fragment*)
- Després de la **rasterització**
- No requereix tenir el Back-face culling activat
- Requereix conèixer per a cada píxel, un valor (depth) que sigui proporcional a la distància a l'observador a la que es troba el polígon que es projecta en el píxel.
- No importa ordre en que s'enviïn a pintar els triangles

# Depth Buffer (z-buffer)

- Dos buffers de la mateixa resolució que la pantalla

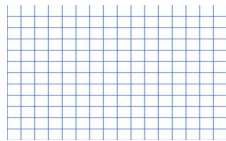
Buffer color (frame\_buffer)

$(r, g, b) \in [0, 2^n - 1]$

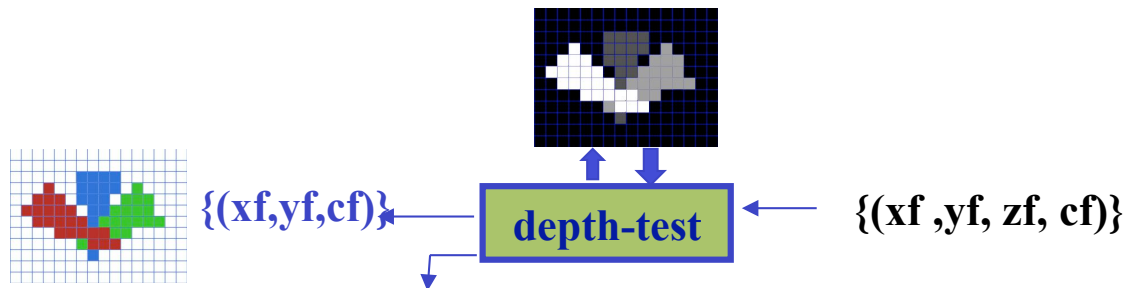
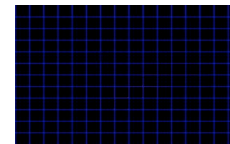
Buffer profunditats (depth\_buffer)

$z \in [0, 2^{nz} - 1]$

1. Inicialitzar al color de fons

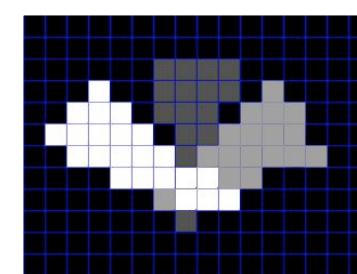
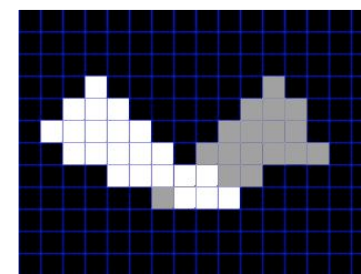
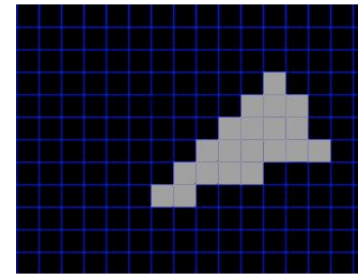
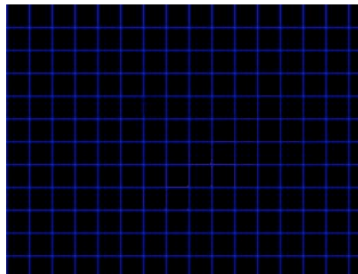
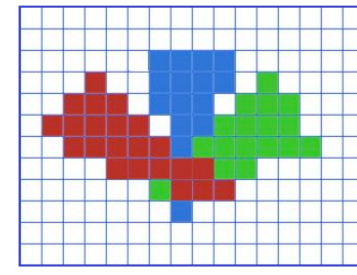
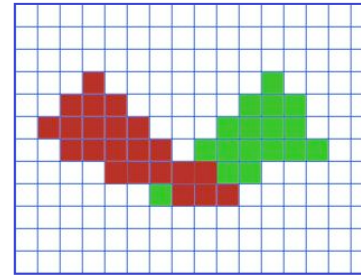
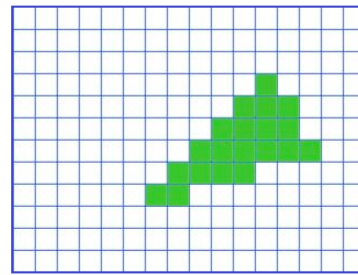
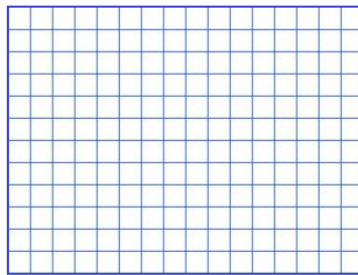
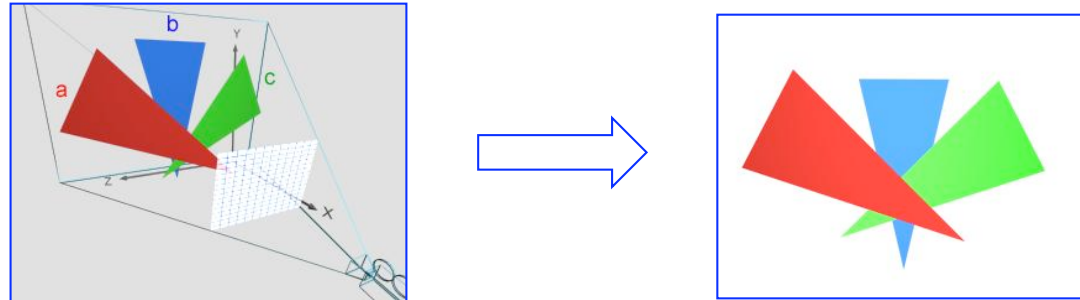


1. Inicialitzar al més lluny possible

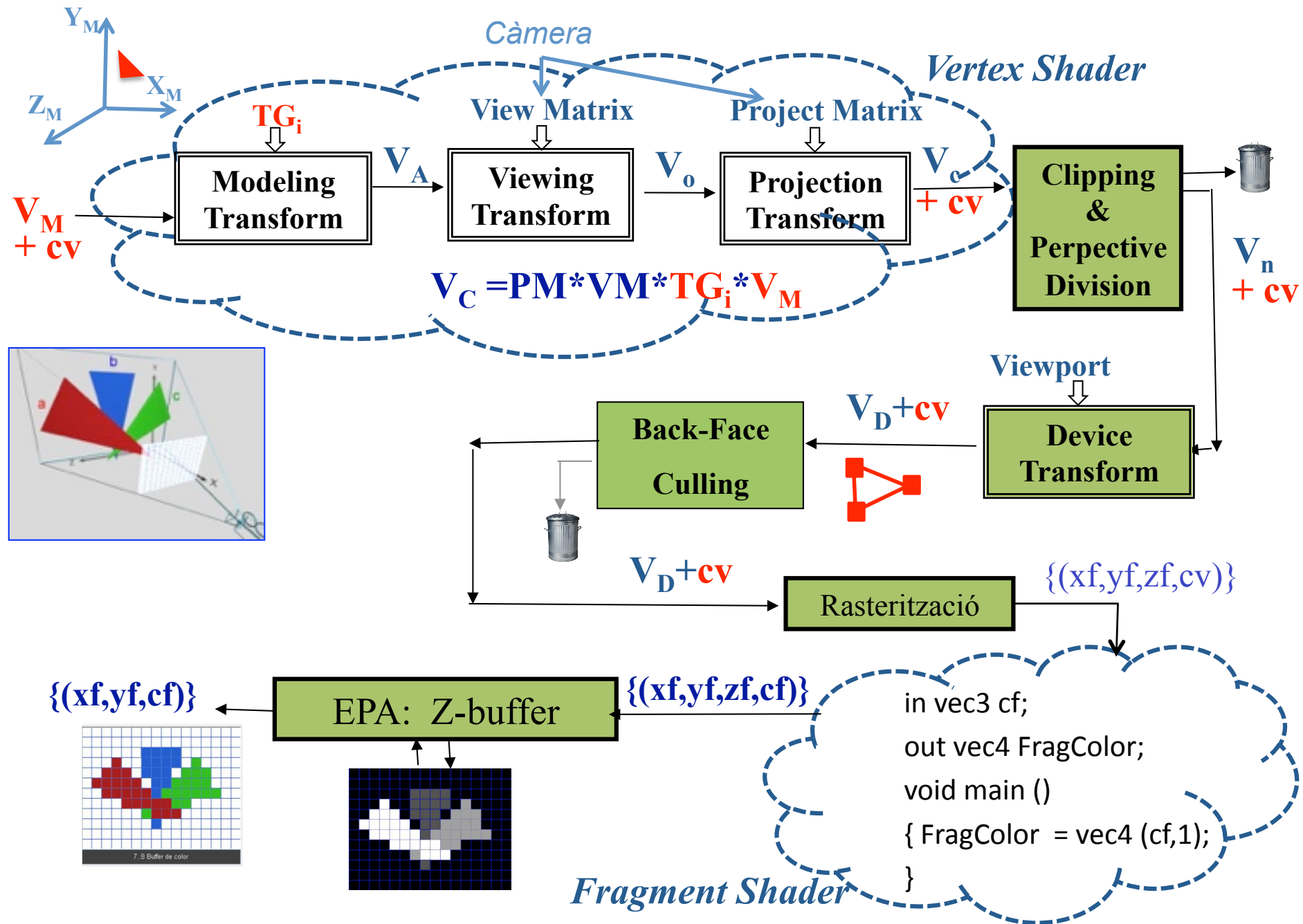


```
if (zf < depth_buffer[xf,yf]) {  
    depth_buffer [xf,yf] = zf;  
    color_buffer [xf,yf] = cf;  
}
```

# Depth Buffer (z-buffer)



# Paradigma projectiu bàsic amb OpenGL 3.3





```

/* un cop: InitializeGL():
  CreateBuffers(); CarregaShaders()
  glEnable (GL_CULL_FACE);
  glEnable (GL_DEPTH_TEST);
  IniCamera() calcular paràmetres càmera i
  matrius inicials VM i PM*/
//viewTransform()
VM = lookAt(OBS,VRP,UP);
viewMatrix(VM);
//projectTransform()
PM=perspective (FOV,ra,zN,zF);
projectMatrix(PM);
//resize(...)
glViewport (0,0,w,h);
/*PaintGL(); cada cop que es requerix
  refresc*/
glClear(GL_COLOR...|GL_DEPTH...);
/*per cada model: modelTransform()
  Calcula TGi i passar a OpenGL*/
  modelTransform_i(TG);
  modelMatrix(TG);
  Pinta_model(VAO);

```

```

in vec3 vertex, color;
out vec3 cv;
uniform mat4 TG, VM, TP;
void main ()
{ gl_Position= TP*VM*TG*vec4(vertex,1.0);
  cv=color;
}

```

```

in vec3 cv;
out vec4 FragColor;
void main ()
{ FragColor = vec4 (cv,1);
}

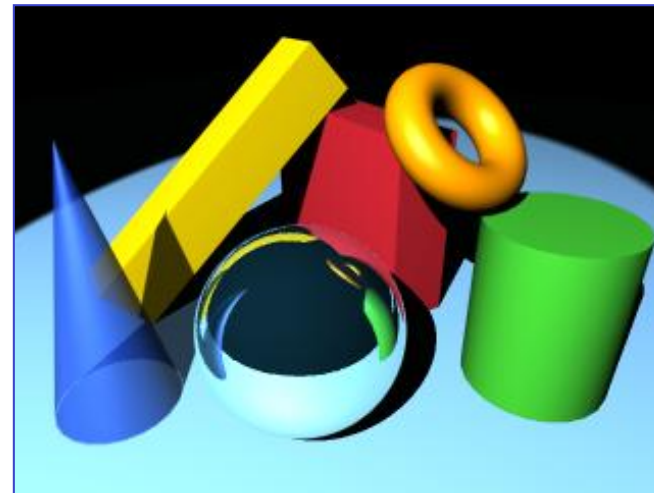
```

# Classe 6: contingut

- Realisme: El·liminació de parts ocultes
  - Back-face culling
  - Depth-buffer
- **Realisme: Il·luminació (1)**
  - Càlcul del color en un punt
- Exercicis càmera

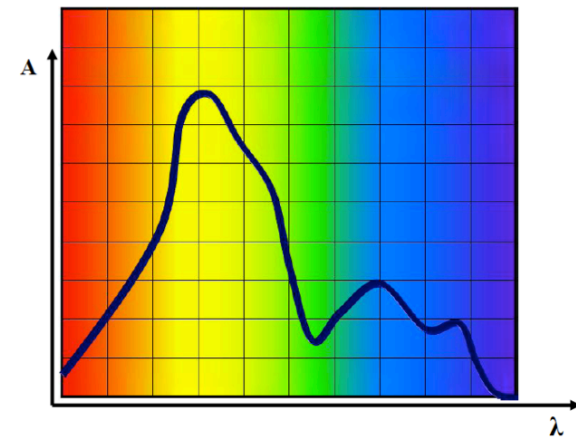
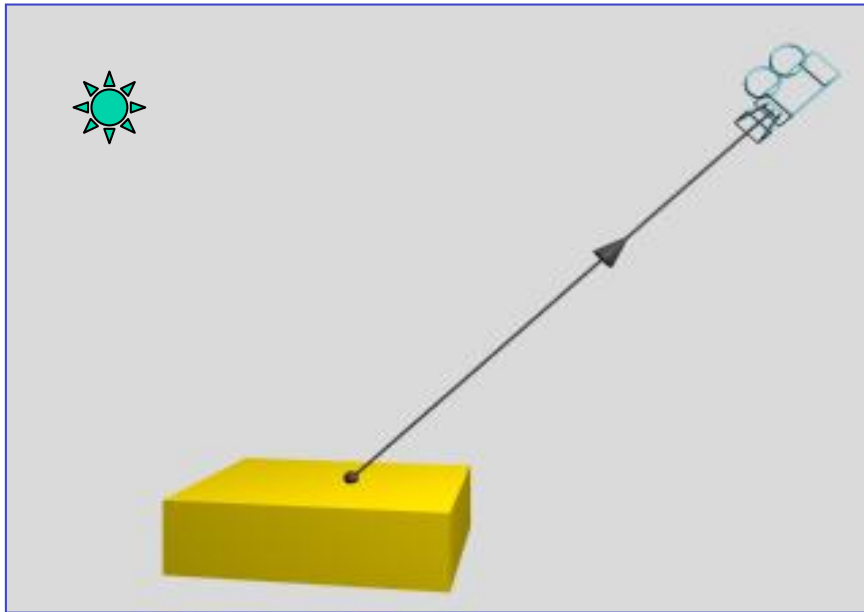
# Introducció

- Els models d'il·luminació simulen el comportament de la llum per determinar el color d'un punt de l'escena.
- Permeten obtenir imatges molt més realistes que pintant cada objecte d'un color uniforme:



# Color d'un punt

El color amb el que un Observador veu un punt P de l'escena és el color de la llum que arriba a l'Obs procedent de P:  $I_\lambda(P \rightarrow Obs)$

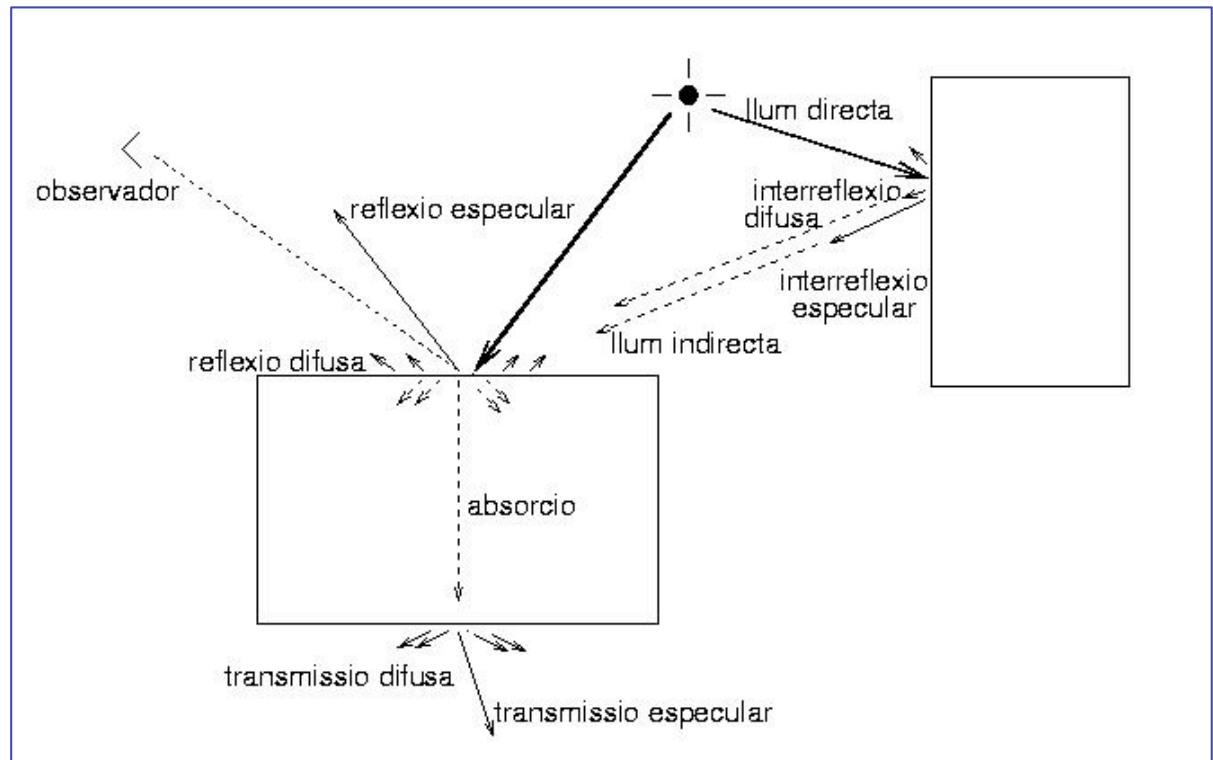


$$I_\lambda(P \rightarrow Obs) \quad \lambda \in \{r, g, b\}$$

# Elements que intervenen

El color que arriba a l'Obs procedent de P,  $I_\lambda(P \rightarrow Obs)$ , depèn de:

- Fonts de llum
- Materials
- Altres objectes
- Posició de l'observador
- Medi pel que es propaga



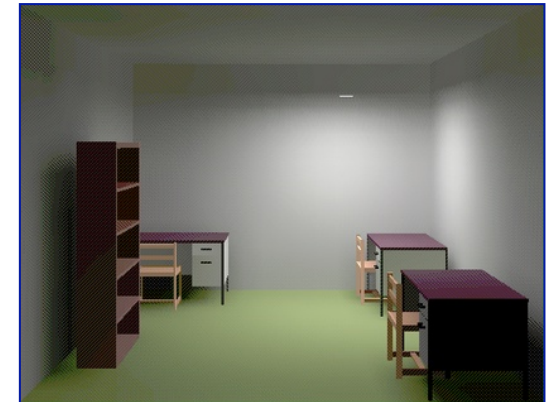
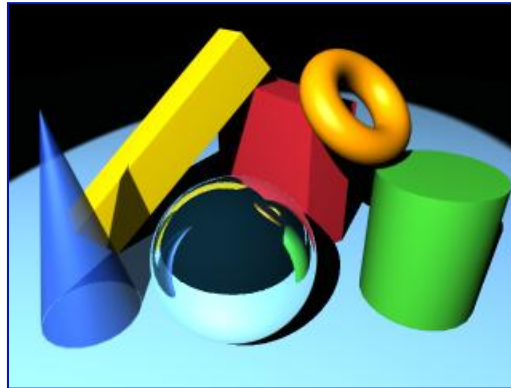
# Models d'il·luminació

- Els models d'il·luminació simulen les lleis físiques que determinen el color d'un punt.
- El càlcul exacte és computacionalment inviable.
- Una primera simplificació és usar només les energies corresponents a les llums vermella, verda i blava.

$$I_{\lambda}(P \rightarrow Obs) \quad \lambda \in \{r, g, b\}$$

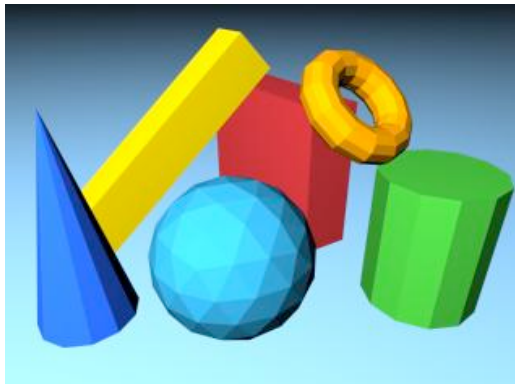
# Models d'il·luminació: Classificació

- Models Locals o empírics
- Models Globals: traçat de raig, radiositat



# Models locals o empírics

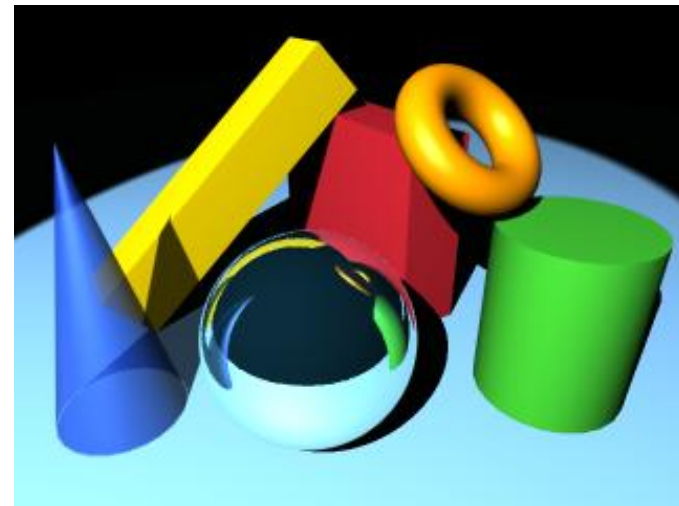
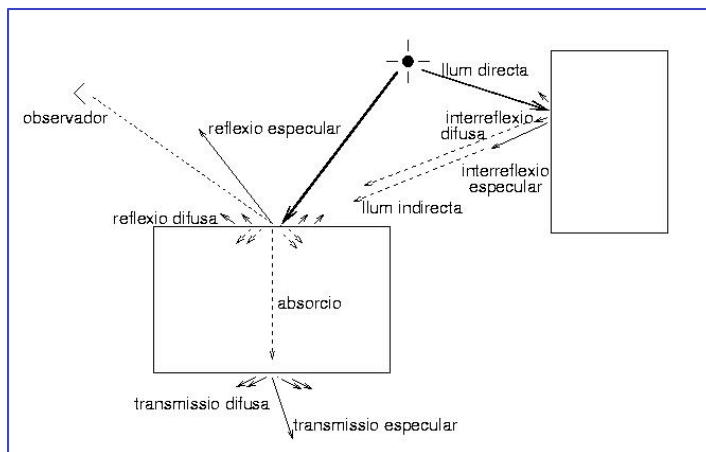
- Només consideren per al calcul del color: el punt **P** en què es calcula, els focus de llum (sempre puntuals) i la posició de l'observador.
- No consideren altres objectes de l'escena (no ombres, no miralls, no transparències).
- Aproximen la transmissió de la llum per fórmules empíriques i les propietats de reflexió dels materials per constants.





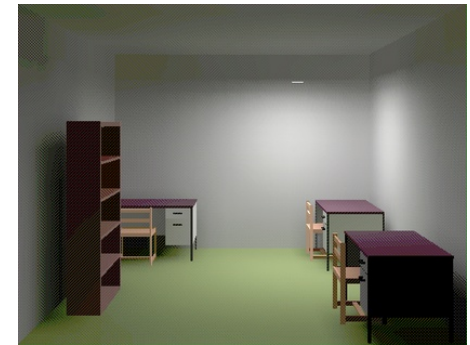
# Models de traçat de raig

- Els models d'il·luminació de traçat de raig consideren:
  - Focus de llum puntuals
  - Altres objectes existents en l'escena però **només transmissions especulars**
- **Permeten simular ombres, transparències i miralls.**
- **Són més costosos en càlcul .**



# Models de radiositat

- Consideren els focus de llum com un objecte qualsevol de l'escena.
- Els objectes només poden produir **reflexions difuses pures**.
- Com que totes les reflexions són difuses, la radiositat no considera la posició de l'observador.
- Poden **modelar ombres i penombres, però no miralls ni transparències**.
- Són els més costosos i es basen en l'anàlisi de l'intercanvi d'energia entre tots els objectes de l'escena.



# Classe 6: contingut

- Realisme: Eliminació de parts ocultes
  - Back-face culling
  - Depth-buffer
- Realisme: Il·luminació (1)
  - Càlcul del color en un punt
- **Exercicis càmera**

**Exercici 43:** Indica quina de les inicialitzacions de l'òptica perspectiva és més apropiada per a una càmera que porta un observador que camina per una escena fent fotos amb una òptica constant. Esfera englobant d'escena té radi  $R$ ,  $d$  és la distància entre OBS i VRP. Observació:  $ra\_v$  és la relació d'aspecte del *viewport*

a)  $FOV = 60^\circ$ ,  $ra = ra\_v$ ,  $zNear = 0.1$ ,  $zFar = 20$

b)  $FOV = 60^\circ$ ,  $ra = ra\_v$ ,  $zNear = R$ ,  $zFar = 3R$ ;

essent  $R$  el radi de l'esfera contenidora de l'escena.

c)  $FOV = 2 * (\arcsin(R/d) * 180/PI)$ ,  $ra = ra\_v$ ,  $zNear = R$ ,  $zFar = 3R$ ;

essent  $R$  el radi de l'esfera contenidora de l'escena i  $d$  la distància d'OBS a VRP.

d)  $FOV = 2 * (\arcsin(R/d) * 180/PI)$ ,  $ra = ra\_v$ ,  $zNear = 0$ ,  $zFar = 20$ ;

essent  $R$  el radi de l'esfera contenidora de l'escena i  $d$  la distància d'OBS a VRP

**Exercici 48:** Disposem d'una càmera ortogonal amb els següents paràmetres:

OBS=(0.,0.,0.), VRP=(-1.,0.,0.), up=(0.,1.,0.), window de (-5,-5) a (5,5), ra=1, zn=5, zf=10.

Indiqueu quin conjunt de paràmetres d'una càmera perspectiva defineix un volum de visió que conté l'anterior (és a dir, garanteix que es veurà, coma mínim, el mateix que amb la càmera axonomètrica):

- a) FOV= 90, ra=1, zn= 5, zf=10
- b) FOV= 60, ra=1, zn=5, zf=10
- c) FOV= 60, ra= 2, zn=6, zf=11
- d) FOV= 90, ra= 0.5, zn=5, zf=10

## Defineixen la mateixa VM?:

### Codi 1

```
VM= LookAt ((0,80,0),(0,50,0),(0,0,-1));
```

### Codi 2

```
VM = Translate(0, 0, -30);  
VM = VM * Rotate (90 , 1, 0, 0);  
VM = VM*Translate (0,-50,0)
```

### *Preguntes:*

- a) Defineixen la mateixa càmera?*
- b) Quina vista de l'escena?*

## Exercici 35: Defineixen la mateixa VM?:

Codi 1

```
VM= LookAt ((0,80,0),(0,50,0),(0,0,-1));
```

Codi 2

```
VM = Translate(0, 0, -80);  
VM = VM * Rotate (90 , 1, 0, 0);
```

### ***Preguntes:***

- a) Defineixen la mateixa càmera?*
- b) Quina vista de l'escena?*

## Defineixen la mateixa VM?:

### Codi 1

```
VM= LookAt ((0,80,0),(0,50,0),(0,0,-1);
```

### Codi 2

```
VM = Translate(0, 0, -80);  
VM = VM * Rotate (90, 0, 0, 1);  
VM = VM * Rotate (90 , 1, 0, 0);  
VM = VM * Rotate(-90, 0, 1, 0);
```

### ***Preguntes:***

- a) Defineixen la mateixa càmera?*
- b) Quina vista de l'escena?*
- c) Es poden optimitzar les TGs del codi 2?*



## Defineixen la mateixa VM?:

### Codi 1

```
VM= LookAt ((0,80,0),(0,50,0),(1,0,0));
```

### Codi 2

```
VM = Translate(0, 0, -80);  
VM = VM * Rotate (90, 0, 0, 1);  
VM = VM * Rotate (90 , 1, 0, 0);  
VM = VM * Rotate(-90, 0, 1, 0);
```

### ***Preguntes:***

- a) Defineixen la mateixa càmera?*
- b) Quina vista de l'escena?*

99. (2016-2017P Q1) Per a què el procés de visualització funcioni correctament pel que respecta a la projecció de la geometria de l'escena, hem de programar obligatòriament els VS (Vertex Shader) i FS (Fragment Shader) de manera que:

- a) En el VS es calculin les coordenades de clipping del vèrtex i en el FS les de dipositiu.
- b) En el VS es calculin les coordenades d'observador del vèrtex i en el FS les de clipping.
- c) En el VS es calculin les coordenades de clipping del vèrtex.
- d) En el VS es calculin les coordenades de clipping i en el FS les d'observador.

(2016-2017P Q1) Un estudiant implementa el Vertex Shader oblidant-se de multiplicar els vèrtexs per la viewMatrix, és a dir, el càlcul del gl Position el fa fent:

$$\text{gl\_Position} = \text{proj} * \text{TG} * \text{vec4}(\text{vertex}, 1.0);$$

on TG és la modelMatrix i proj és la projectMatrix d'una òptica perspectiva. Quina afirmació és la correcta?

- a) El volum de visió queda definit pels punts  $(-1,-1,-1)$  i  $(1,1,1)$  en coordenades de l'aplicació (SCA).
- b) Té el mateix efecte que tenir  $\text{OBS} = (0,0,0)$ ,  $\text{VRP} = (0,0,-10)$  i  $\text{up} = (0,1,0)$ .
- c) No podem conèixer la posició de la càmera.
- d) Cap de les altres respostes és correcta.

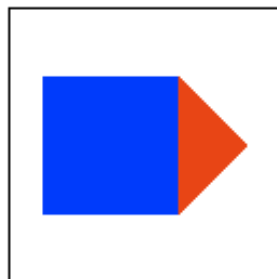
(2016-2017P Q1) Tenim una escena amb una caseta formada per:

- un cub de color blau de costat 20 amb les cares paral·leles als plans coordenats i amb el centre de la seva cara inferior situat en el punt (10,0,0).
- una piràmide de color vermell de base quadrada d'aresta 20 i alçada 10, ubicada just a sobre del cub, amb la base de la piràmide coincidint amb la cara superior del cub.

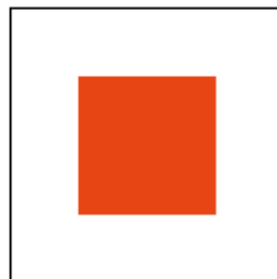
Al pintar la caseta en un viewport quadrat amb els paràmetres de càmera:

OBS = (10,40,0); VRP=(10,-30,0); up=(1,0,0); FOV = 90°; ra = 1.0; Znear = 10; Zfar = 45;

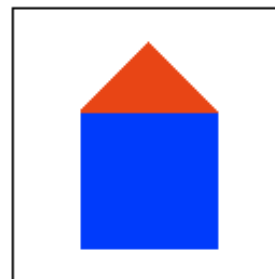
Quina de les següents figures representa la imatge resultant?



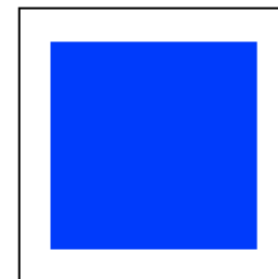
a)



b)



c)



d)



**Hi ha una llista de molts exercicis, alguns a fer:**

33, 58, 63, 53, 67, 73, 85,...